

## 3母数ワイブル分布の推定問題

国立水俣病研究センター

柴田義貞 (Yoshisada Shibata)

### 1. はじめに

ワイブル分布は寿命時間の分布を表わすモデルとしても、とよく使われるものの一つである。通常は形状母数と尺度母数をもつ2母数ワイブル分布が用いられるが、癌の場合のように、いわゆる潜伏期間が考えられるような疾病による死亡を扱う場合、さらに位置母数を導入して、3母数ワイブル分布を用いることがある。本論では、形状、尺度、位置の3母数が未知の3母数ワイブル分布について、その母数と特性値の推定を論じる。

### 2. 3母数ワイブル分布

確率密度関数

$$f(x) = \frac{\gamma}{\theta} \left( \frac{x-\xi}{\theta} \right)^{\gamma-1} \exp \left[ - \left( \frac{x-\xi}{\theta} \right)^\gamma \right], \quad x > \xi; \theta > 0, \gamma > 0$$

をもつ分布を3母数ワイブル分布とよび、 $W(\xi; \theta, \gamma)$ と記す。1次、2次のモーメントは

$$\mu'_1 = \xi + \theta \Gamma(1 + 1/\gamma)$$

$$\mu_2 = \theta^2 \{ \Gamma(1 + 2/\gamma) - \Gamma^2(1 + 1/\gamma) \}$$

歪度、尖度は

$$\sqrt{\beta_1} = \frac{\Gamma(1+3/\gamma) - 3\Gamma(1+2/\gamma)\Gamma(1+1/\gamma) + 2\Gamma^3(1+1/\gamma)}{\{\Gamma(1+2/\gamma) - \Gamma^2(1+1/\gamma)\}^{3/2}}$$

$$\beta_2 = \frac{\Gamma(1+4/\gamma) - 4\Gamma(1+3/\gamma)\Gamma(1+1/\gamma) + 6\Gamma(1+2/\gamma)\Gamma^2(1+1/\gamma) - 3\Gamma^4(1+1/\gamma)}{\{\Gamma(1+2/\gamma) - \Gamma^2(1+1/\gamma)\}^2}$$

### 3. 母数の推定

$x_1, \dots, x_n$  を3母数ワイブル分布  $W(\xi; \theta, \gamma)$  からの大きさの標本として、未知母数  $\xi, \theta, \gamma$  の推定を考える。

#### (1) 最尤推定

位置母数  $\xi$  が未知のため難点が一つ生じる。実際、尤度は

$$\left(\frac{\gamma}{\theta}\right)^n \left\{ \prod_{i=1}^n \left( \frac{x_i - \xi}{\theta} \right)^{\gamma-1} \right\} \exp \left[ - \sum_{i=1}^n \left( \frac{x_i - \xi}{\theta} \right)^\gamma \right]$$

であるから、形状母数  $\gamma$  の大きさに関する情報が皆無の場合、 $\gamma (< 1)$  と  $\theta$  を任意に定め、 $\xi \uparrow x_{(1)} = \min(x_1, \dots, x_n)$  とすると、尤度は無限大に近づき最尤推定値は定まらない。

しかし、 $\gamma > 2$  となることが分かっていれば、未知母数の

最大推定値  $\hat{\theta}$ ,  $\hat{\alpha}$ ,  $\hat{\beta}$  は、尤度方程式

$$-\frac{n\hat{\beta}}{\hat{\theta}} + \frac{\hat{\beta}}{\hat{\theta}} \sum_{i=1}^n \left( \frac{x_i - \hat{\beta}}{\hat{\theta}} \right)^{\hat{\beta}} = 0$$

$$\frac{n}{\hat{\theta}} + \sum_{i=1}^n \log \left( \frac{x_i - \hat{\beta}}{\hat{\theta}} \right) - \sum_{i=1}^n \left( \frac{x_i - \hat{\beta}}{\hat{\theta}} \right)^{\hat{\beta}} \log \left( \frac{x_i - \hat{\beta}}{\hat{\theta}} \right) = 0$$

$$-(\hat{\beta} - 1) \sum_{i=1}^n \frac{1}{x_i - \hat{\beta}} + \frac{\hat{\beta}}{\hat{\theta}} \sum_{i=1}^n \left( \frac{x_i - \hat{\beta}}{\hat{\theta}} \right)^{\hat{\beta}-1} = 0$$

の解として定まり、正則である。この分散は漸近的に

$$V[\sqrt{n}\hat{\beta}] \simeq \theta^2 \frac{1}{\Delta(\beta)} \frac{\psi'(1)}{(r-1)^2}$$

$$V[\sqrt{n}\hat{\theta}] \simeq \left( \frac{\theta}{\beta} \right)^2 \frac{1}{\Delta(\beta)} \left[ \left\{ \psi'(1) + \psi''(2) \right\} \Gamma(1 - \frac{2}{\beta}) - \Gamma^2(1 - \frac{1}{\beta}) \left\{ 1 + 4(1 - \frac{1}{\beta}) \right\}^2 \right]$$

$$V[\sqrt{n}\hat{\alpha}] \simeq \beta^2 \frac{1}{\Delta(\beta)} \left\{ \Gamma(1 - \frac{2}{\beta}) - \Gamma^2(1 - \frac{1}{\beta}) \right\}$$

ただし

$$\Delta(\beta) = \psi'(1) \Gamma(1 - \frac{2}{\beta}) - \Gamma^2(1 - \frac{1}{\beta}) \left[ \psi'(1) + \left\{ \psi(1) - \psi(1 - \frac{1}{\beta}) \right\}^2 \right]$$

$$\psi(x) = \frac{d \log \Gamma(x)}{dx}$$

いくつかの  $\beta$  の値に対する漸近分散の値を表 3.1 に示す。

ところで、 $\beta$  が既知の場合、 $\theta$ ,  $\beta$  の最大推定量の漸近分散は

表 3.1  $W(\xi; \theta, \gamma)$  の最大推定量の漸近分散

$\gamma$	$V[\sqrt{n}\hat{\theta}/\theta]$	$V[\sqrt{n}\hat{\gamma}/\gamma]$	$V[\sqrt{n}\hat{\xi}/\theta]$
2.1	0.329	0.724	0.056
2.5	0.670	1.286	0.396
3.0	1.361	2.204	1.072
4.0	3.535	4.755	3.209
5.0	6.704	8.260	6.348
6.0	10.844	12.229	10.010
7.0	15.946	18.130	15.550

$$V[\sqrt{n}\hat{\theta}] \simeq \left(\frac{\theta}{\gamma}\right)^2 \frac{\psi'(1) + \psi'(2)}{\psi'(1)}$$

$$\simeq 1.1087 (\theta/\gamma)^2$$

$$V[\sqrt{n}\hat{\gamma}] \simeq \frac{\gamma^2}{\psi'(1)}$$

$$\simeq 0.6079 \gamma^2$$

であるから、 $\gamma$  が未知の場合、 $\gamma$  が大きくなると、既知の場合に比べ推定量の分散が極端に大きくなることが分かる。

また、 $0 < \gamma < 1$  ということが分かっていれば、 $\hat{\xi} = x_{(1)}$  は  $\xi$  の super-efficient な推定量で、その分散は

$$\frac{\theta^2}{n^{2/\gamma}} \left\{ \Gamma\left(1 + \frac{2}{\gamma}\right) - \Gamma^2\left(1 + \frac{1}{\gamma}\right) \right\}$$

である。この場合、 $\theta$ 、 $\gamma$  の最大推定値を求めるには、 $x_i$  を  $x_i - x_{(1)}$  で置き換え、2母数ワイブル分布の最大法を

行えはよい (Johnson & Kotz (1970)).

このように、すべての母数が未知で形状母数に関する先駆情報がない場合、最尤推定は不可能となるので、以下では別の推定法をいくつか考える。

## (2) いくつかの推定方法

### 方法 I (モーメント法)

標本から計算した 1 次、2 次、3 次のモーメントをそれぞれ母集団分布の対応するモーメントと等置して推定値を求める。すなわち、連立方程式

$$\bar{x} + \theta \Gamma(1+1/\gamma) = \bar{x} \quad (3.1)$$

$$\theta^2 \{ \Gamma(1+2/\gamma) - \Gamma^2(1+1/\gamma) \} = m_2 \quad (3.2)$$

$$\theta^3 \{ \Gamma(1+3/\gamma) - 3\Gamma(1+2/\gamma)\Gamma(1+1/\gamma) + 2\Gamma^3(1+1/\gamma) \} = m_3 \quad (3.3)$$

を未知母数について解く。ただし

$$\bar{x} = \sum_{i=1}^n x_i / n, \quad m_n = \sum_{i=1}^n (x_i - \bar{x})^n / n \quad (n=2,3)$$

(3.2), (3.3) 式より

$$\sqrt{\beta_1} = m_3 / m_2^{3/2} \quad (3.4)$$

左辺は  $\gamma$  の単調減少関数で (2 節参照)

$$\lim_{\gamma \rightarrow \infty} \sqrt{\beta_1} = \frac{6\sqrt{6}\psi''(1)}{\pi^3} \doteq -1.1395$$

したがって、解の存在しない場合も起こり得るが、存在すれば一意である。 (3.4) 式の解を (3.2) 式に代入して  $\theta$  の推

定値を求める、最後に (3.1) 式から  $\hat{\theta}$  の推定値を求める。

図 3.1 は  $\sqrt{B_1}$  のグラフを描いたもので、この図から明らかのように、モーメント法による推定値は、 $\delta$  が大きいとき、かなり悪くなる場合があり得ることが予想される。

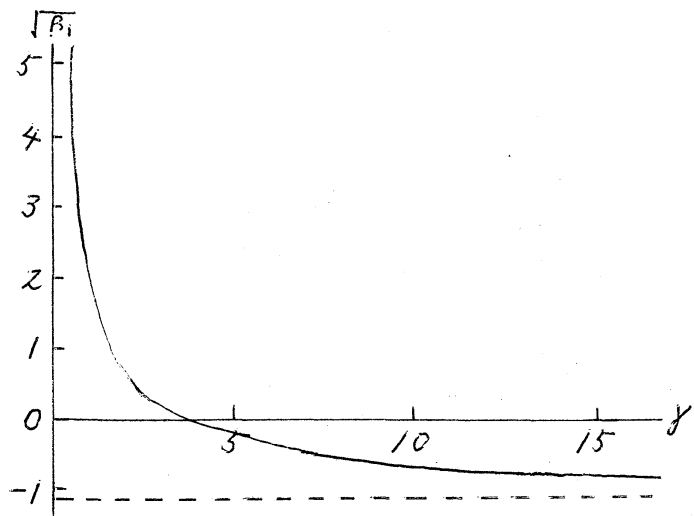


図 3.1  $W(\bar{x}; \theta, r)$  の歪度

## 方法Ⅱ

$\bar{x} < x_{(1)}$  を一つ定めると、尤度を最大にする  $\theta$ 、 $\delta$  は次の連立方程式の解である。

$$\theta = \left\{ \sum_{i=1}^n (x_i - \bar{x})^r / n \right\}^{1/r} \quad (3.5)$$

$$\frac{\sum_{i=1}^n (x_i - \bar{x})^r \log(x_i - \bar{x})}{\sum_{i=1}^n (x_i - \bar{x})^r} - \frac{1}{r} - \frac{1}{n} \sum_{i=1}^n \log(x_i - \bar{x}) = 0 \quad (3.6)$$

方程式 (3.6) は Newton-Raphson 法で簡単に解け、その解  $\hat{\delta} = \hat{\delta}(\bar{x})$  を (3.5) 式に代入して  $\hat{\theta} = \hat{\theta}(\bar{x})$  を得る。二

のとき、尤度はこの関数で、その対数は

$$\log L(\xi) = n \log [\hat{f}(\xi)/\hat{\theta}(\xi)] + (\hat{f}(\xi)-1) \sum_{i=1}^n \log \left( \frac{x_i - \xi}{\hat{\theta}(\xi)} \right) \\ - \sum_{i=1}^n \left( \frac{x_i - \xi}{\hat{\theta}(\xi)} \right)^{\hat{f}(\xi)}$$

となる。したがって、 $L(\xi)$ を最大にする  $\xi = \hat{\xi} (< x_{(1)})$  を求めれば、 $\hat{\xi}, \hat{\theta} = \hat{\theta}(\hat{\xi}), \hat{f} = \hat{f}(\hat{\xi})$  が“最大推定値”となる。関数  $\log L(\xi)$  の挙動は一般に複雑であるかもしれないが、経験的には (i) 単調増加、(ii) 単峰、(iii) 単調減少、となる場合が多い。(iii)の場合、“最大推定値”は存在しないが、(i)、(ii)の場合には、次のようにして“最大推定値”が得られる。

(i) の場合

$\xi$ を十分小さな正数として、 $\hat{\xi} = x_{(1)} - \xi, \hat{\theta} = \hat{\theta}(\hat{\xi}), \hat{f} = \hat{f}(\hat{\xi})$  とすればよい。

(ii) の場合

$$d \log L(\xi) / d\xi = 0 \quad (3.7)$$

を満足する  $\xi = \hat{\xi}$  を求め、 $\hat{\theta} = \hat{\theta}(\hat{\xi}), \hat{f} = \hat{f}(\hat{\xi})$  とすればよい。

上記の方法では推定値が得られない場合もあり、また得られる場合でも多数回の繰り返し計算が必要になる。そこで、精度は劣るかもしれないが、もう少し簡単な方法を考える。

方法Ⅲ

まず、 $\bar{x} < x_{(1)}$  と

$$E[x_{(1)}] = \bar{x} + \frac{\theta}{n^{1/\delta}} \Gamma(1 + \frac{1}{\delta}) \quad (3.8)$$

に注意しておく。 $\hat{\bar{x}} = x_{(1)} - \delta$  ( $\delta$  は十分小さな正数) として、(3.5), (3.6) 式から  $\theta = \hat{\theta}$ ,  $\delta = \hat{\delta}$  を求める。次に (3.8) 式を用いて

$$\hat{\bar{x}} = x_{(1)} - \frac{\hat{\theta}}{n^{1/\hat{\delta}}} \Gamma(1 + \frac{1}{\hat{\delta}})$$

とし、この  $\hat{\bar{x}}$  を用いて再び (3.5), (3.6) 式から  $\theta = \hat{\theta}$ ,  $\delta = \hat{\delta}$  を求め、 $\bar{x}$ ,  $\hat{\theta}$ ,  $\hat{\delta}$  を推定値とする。

ところで

$$E[\bar{x}] = \bar{x} + \theta \Gamma(1 + 1/\delta)$$

だから、(3.8) 式を

$$E[x_{(1)}] = (1 - 1/n^{1/\delta}) \bar{x} + E[\bar{x}]/n^{1/\delta} \quad (3.9)$$

と書き直すことができる。(3.9) 式を用いて、方法Ⅲと同様の方法で推定することができます。これを方法Ⅳとよぶ。

4. 数値例

例1 次の数値は  $W(0; 1, 0.5)$  からの大きさ20の標本を乱数を用いて生成したものである。

0.26012	0.69448	2.67341	0.34840	0.03677
0.02068	2.29601	0.00044	0.06755	0.03355
0.00054	0.08296	0.16449	0.86991	0.15345
0.10450	0.08573	0.00550	2.89745	1.06020

まず、モーメント法による推定を考える。

$$\bar{x} = 0.59281, m_2 = 0.82105, m_3 = 1.22107$$

を (3.1), (3.2), (3.3) 式の右辺に代入して、推定値

$$\hat{\gamma} = -0.44, \hat{\theta} = 1.08, \hat{\delta} = 1.14$$

を得る。

$\delta = 10^{-6}$  として、 $\xi \leq x_{(1)} - \delta$  に対して  $\log L(\xi)$  のグラフを描くと、 $\log L(\xi)$  が単調増加であることが分かる。したがって、“最大推定値”は

$$\hat{\gamma} = 0.00044, \hat{\theta} = 0.30, \hat{\delta} = 0.45$$

また、 $\delta = 10^{-6}$  として方法Ⅲ、N を用いて推定すると、推定値は、それぞれ

$$\hat{\gamma}^* = -0.0018, \hat{\theta}^* = 0.34, \hat{\delta}^* = 0.53$$

$$\hat{\gamma}^{**} = 0.0000043, \hat{\theta}^{**} = 0.33, \hat{\delta}^{**} = 0.52$$

例2 次の数値は  $W(0; 1, 5)$  からの大きさ 20 の標本を乱数を用いて生成したものである。

0.87401	0.96420	1.10333	0.89993	0.71870
0.67849	1.08667	0.46183	0.76377	0.71214
0.47125	0.77963	0.83486	0.98616	0.82908
0.79783	0.78219	0.59435	1.11225	1.00586

モーメント法による推定値は

$$\hat{\gamma} = 0.036, \hat{\theta} = 0.86, \hat{\delta} = 4.88$$

例1と同様に  $\log L(\gamma)$  のグラフを描くと,  $\log L(\gamma)$  が上に凸な单峰関数であることが分かる。そこで、方程式(3.7)を解くと  $\hat{\gamma} = 0.091$  を得,  $\hat{\theta} = 0.80, \hat{\delta} = 4.60$  を得る。

方法Ⅲ, IVによる推定値は、それぞれ

$$\gamma^* = 0.38, \theta^* = 0.42, \delta^* = 1.96$$

$$\gamma^{**} = 0.010, \theta^{**} = 0.92, \delta^{**} = 5.34$$

次の例は  $\log L(\gamma)$  が単調減少となつて“最大推定値”が得られない例である。

例3 次の数値は  $W(0; 1, 5)$  からの大きさ20の標本を乱数を用いて生成したものである。

0.77158	1.03761	0.29598	0.93392	0.91060
1.15402	0.67037	0.91060	1.10131	1.22143
0.94540	1.15736	1.09954	0.74890	0.86887
0.57645	0.64560	1.09655	1.27289	0.99468

モーメント法による推定値は

$$\hat{\gamma} = -1.96, \hat{\theta} = 2.99, \hat{\delta} = 14.79$$

方法Ⅲ, IVによる推定値は、それぞれ

$$\gamma^* = 0.039, \theta^* = 0.75, \delta^* = 3.11$$

$$\gamma^{**} = 0.24, \theta^{**} = 1.03, \delta^{**} = 4.86$$

### 5. 信頼度、パーセント点の推定

分布の未知母数の推定は重要ではあるが、実際問題では信頼度やパーセント点の推定がより重要な場合が多くなる。

3母数ワイブル分布  $W(t; \theta, \gamma)$  の時点  $t$  における信頼度は

$$R_t = \begin{cases} \exp\left[-\left(\frac{t-\gamma}{\theta}\right)^{\hat{\gamma}}\right] & (t > \gamma) \\ 1 & (t \leq \gamma) \end{cases}$$

であり、下側  $\alpha$  点は

$$\gamma_{\alpha} = \gamma + \theta \{-\log(1-\alpha)\}^{1/\hat{\gamma}}$$

3節に述べた母数の推定方法  $i$  ( $i = I, II, III, IV$ ) による推定値を  $\hat{\gamma}^{(i)}$ ,  $\hat{\theta}^{(i)}$ ,  $\hat{\phi}^{(i)}$  とするとき、 $R_t$ ,  $\gamma_{\alpha}$  は

$$\hat{R}_t^{(i)} = \begin{cases} \exp\left[-\left(\frac{t-\hat{\gamma}^{(i)}}{\hat{\theta}^{(i)}}\right)^{\hat{\gamma}^{(i)}}\right] & (t > \hat{\gamma}^{(i)}) \\ 1 & (t \leq \hat{\gamma}^{(i)}) \end{cases}$$

$$\hat{\gamma}_{\alpha}^{(i)} = \hat{\gamma}^{(i)} + \hat{\theta}^{(i)} \{-\log(1-\alpha)\}^{1/\hat{\gamma}^{(i)}}$$

で推定することができる。

## 6. 推定量の比較

4節の数値例は、方法Ⅱ（モーメント法）がもっとも劣り、方法Ⅳが他の方法に勝るとも劣らないことを示している。しかし、これは特定の例に基づくもので、方法の優劣を論じるには、推定量の偏り、分散などの比較が必要になる。

ところで、小標本の場合にこれらの推定量のモーメントを正確に計算することは事実上不可能である。漸近展開による方法を考えられるが、ここでは簡単のため、モンテカルロ・シミュレーションを行って比較した。方法Ⅱは多数回の繰り返し計算を要するので、シミュレーション回数は2000とした。他の方法については10000回のシミュレーションを行った。

表6.1から表6.3は母数推定の場合の結果を示す。信頼度とパーセント点の推定については、それぞれ表6.4、6.5に結果を示す。

方法Ⅱでは、既に述べたように、推定値が得られない場合が生じるが、今回行なった2000回のシミュレーションでは、解の得られないか、た回数は次のとおりである。た。730 ( $\delta = 0.5$ ), 727 ( $\delta = 1$ ), 703 ( $\delta = 1.5$ ), 648 ( $\delta = 2$ ), 499 ( $\delta = 3$ )。したがって、実際のシミュレーション回数は1300～1500回で、得られた結果をそのまま比較して決論を下すのは危険か

表 6.1  $\gamma$  の推定量の比較;  $\beta = 0, \theta = 1; n = 20$ 

$\gamma$	方法I	方法II	方法III	方法IV	
0.5	bias variance m.s.e.	-1.2473 0.7735 2.3292	0.0052 0.0001 0.0001	-0.0082 0.0003 0.0003	-0.0086 0.0003 0.0004
	bias variance m.s.e.	-0.3089 0.0664 0.1619	0.0494 0.0038 0.0062	-0.0246 0.0050 0.0056	-0.0286 0.0057 0.0065
	bias variance m.s.e.	-0.2080 0.0925 0.1357	0.1066 0.0182 0.0295	-0.0167 0.0165 0.0167	-0.0355 0.0219 0.0231
2.0	bias variance m.s.e.	-3.1687 $8.8 \times 10^4$ $8.8 \times 10^4$	0.1163 0.0910 0.1045	0.0145 0.0297 0.0299	-0.0278 0.0463 0.0471
	bias variance m.s.e.	-61.693 $2.1 \times 10^6$ $2.1 \times 10^6$	0.0737 0.3345 0.3400	0.1060 0.0484 0.0596	0.0146 0.1013 0.1015

表 6.2  $\theta$  の推定量の比較;  $\beta = 0, \theta = 1; n = 20$ 

$\gamma$	方法I	方法II	方法III	方法IV	
0.5	bias variance m.s.e.	2.0356 2.6687 6.8122	-0.0503 0.2122 0.2148	0.1502 0.3030 0.3256	0.1537 0.3040 0.3276
	bias variance m.s.e.	0.4070 0.2052 0.3709	-0.1844 0.0432 0.0771	0.0337 0.0675 0.0687	0.0422 0.0697 0.0715
	bias variance m.s.e.	0.2320 0.1540 0.2078	-0.2372 0.0409 0.0971	-0.0223 0.0410 0.0415	0.0004 0.0465 0.0465
2.0	bias variance m.s.e.	3.1745 $8.8 \times 10^4$ $8.8 \times 10^4$	-0.2177 0.1315 0.1788	-0.0812 0.0375 0.0441	-0.0422 0.0483 0.0500
	bias variance m.s.e.	61.690 $2.1 \times 10^6$ $2.1 \times 10^6$	-0.1303 0.3858 0.4028	-0.1967 0.0392 0.0779	-0.1312 0.0621 0.0794

表 6.3  $\gamma$  の推定量の比較;  $\zeta = 0$ ,  $\theta = 1$ ;  $n = 20$ 

$\gamma$					
0.5	bias	0.4805	-0.0330	0.0852	0.0867
	variance	0.0644	0.0047	0.0143	0.0144
	m.s.e.	0.2953	0.0058	0.0216	0.0219
1.0	bias	0.4693	-0.2729	0.1315	0.1437
	variance	0.2382	0.0408	0.0617	0.0689
	m.s.e.	0.4585	0.1153	0.0790	0.0896
1.5	bias	0.5174	-0.5364	0.0975	0.1466
	variance	0.7282	0.2982	0.1447	0.1875
	m.s.e.	0.9959	0.5859	0.1542	0.2089
2.0	bias	16.266	-0.5692	-0.0263	0.0829
	variance	$2.4 \times 10^6$	1.6613	0.2586	0.3855
	m.s.e.	$2.4 \times 10^6$	1.9854	0.2593	0.3924
3.0	bias	317.56	-0.3477	-0.4808	-0.2185
	variance	$5.8 \times 10^7$	6.9879	0.5366	1.0064
	m.s.e.	$5.8 \times 10^7$	7.1088	0.7677	1.0541

表 6.4  $R_t$  の推定量の比較;  $\tau = \gamma_{0.05}$ ;  $\zeta = 0$ ,  $\theta = 1$ ;  $n = 20$ 

$\gamma$					
0.5	bias	-0.2773	0.0065	-0.0119	-0.0125
	variance	0.0083	0.0019	0.0008	0.0008
	m.s.e.	0.0852	0.0020	0.0009	0.0010
1.0	bias	-0.0717	-0.0086	-0.0044	-0.0046
	variance	0.0039	0.0035	0.0011	0.0011
	m.s.e.	0.0091	0.0036	0.0011	0.0011
1.5	bias	-0.0216	-0.0180	-0.0053	-0.0070
	variance	0.0020	0.0051	0.0014	0.0014
	m.s.e.	0.0025	0.0055	0.0014	0.0014
2.0	bias	-0.0091	-0.0158	-0.0081	-0.0139
	variance	0.0016	0.0058	0.0018	0.0021
	m.s.e.	0.0016	0.0061	0.0018	0.0023
3.0	bias	-0.0022	-0.0035	-0.0153	-0.0396
	variance	0.0013	0.0046	0.0028	0.0084
	m.s.e.	0.0014	0.0046	0.0030	0.0100

表 6.5  $\chi_{0.05}^2$  の推定量の比較;  $\lambda = 0$ ,  $\theta = 1$ ;  $n = 20$ 

$\gamma$					
0.5	bias	-1.0885	0.0048	-0.0006	-0.0008
	variance	0.6901	0.0001	0.0001	0.0001
	m.s.e.	1.8750	0.0002	0.0001	0.0001
1.0	bias	-0.1536	0.0142	0.0051	0.0044
	variance	0.0188	0.0027	0.0026	0.0026
	m.s.e.	0.0424	0.0029	0.0026	0.0026
1.5	bias	-0.0445	0.0163	0.0034	-0.0020
	variance	0.0126	0.0069	0.0065	0.0068
	m.s.e.	0.0146	0.0072	0.0066	0.0068
2.0	bias	-0.0119	0.0241	-0.0021	-0.0168
	variance	0.0116	0.0096	0.0096	0.0112
	m.s.e.	0.0117	0.0102	0.0096	0.0115
3.0	bias	-0.0072	0.0343	-0.0122	-0.0501
	variance	0.0102	0.0099	0.0122	0.0210
	m.s.e.	0.0103	0.0111	0.0124	0.0235

もしこれをいか、実用上は方法Ⅲ、IVを使えはより、と言って  
もよいであろう。

形状母数  $\gamma$  が大きいとき、方法Ⅰは母数の推定に関して極端に悪くなるか、信頼度、パーセント点の推定に関しては他の方法にそれほど劣らない。この点は注目に値するであろう。

### 参考文献

Johnson, N. L. & Kotz, S. (1970). *Continuous Univariate Distributions-1*.  
New York: Wiley.